

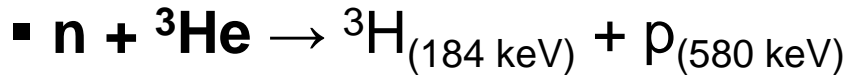
Messung von Neutronen - Probleme und alternative Detektoren

Autor: Thales SCHRÖTTNER
Systementwicklung
Radiation Safety and Applications
Seibersdorf Labor GmbH, 2444 Seibersdorf
thales.schroettner@seibersdorf-laboratories.at

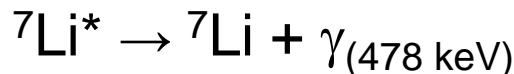
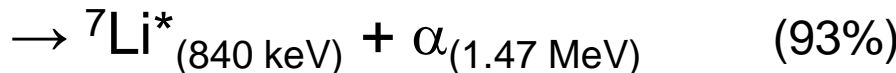
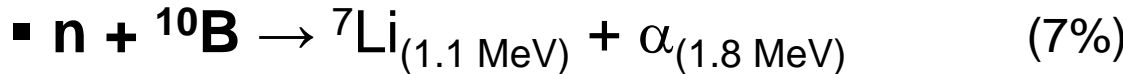
Inhalt

- **Nachweisreaktionen**
- **Detektionsverfahren**
- **Energieabhängigkeit der Detektorempfindlichkeit**
- **He-3 (Vorteile, Produktion, Verknappung)**
- **Alternative Detektoren**
- **Entwicklung in Seibersdorf**

Nachweisreaktionen



($\sigma \sim 5333 \text{ barn}$, 0.5 bis 5 ppm ${}^3\text{He}$)



($\sigma \sim 3840 \text{ barn}$, ~ 20% ${}^{10}\text{B}$)



($\sigma \sim 941 \text{ barn}$, ~ 7.5% ${}^6\text{Li}$)



Nachweisreaktionen

- **Rückstoßprotonen** (neue Plastik-Szintillatoren)
- $n + ^{155}\text{Gd} \rightarrow ^3\text{Gd}^* + \gamma + \text{Konversionselektronen}$
- $n + ^{157}\text{Gd} \rightarrow ^3\text{Gd}^* + \gamma + \text{Konversionselektronen}$
- $n + ^{235}\text{U} \rightarrow \text{Spaltfragmente} + \sim 160 \text{ MeV}$
- $n + ^{239}\text{Pu} \rightarrow \text{Spaltfragmente} + \sim 160 \text{ MeV}$
- Energieselektive Detektoren
 - z.B. ^{197}Au : 4.9 eV, ^{115}In : 1.5 eV, ^{181}Ta : 4.3 eV, ^{238}U : 6.7 und 10.3 eV

Detektionsverfahren

- Proportionalzählrohr (Ar-Gasverstärkung)
- Szintillation
 - heterogen → Absorption der Sekundärteilchen im Konverter
 - homogen → Reabsorption des Lichts
- Halbleiter (kleine Fläche → niedrige Empfindlichkeit)
- Lumineszenz

Energieabhängigkeit der Detektorempfindlichkeit

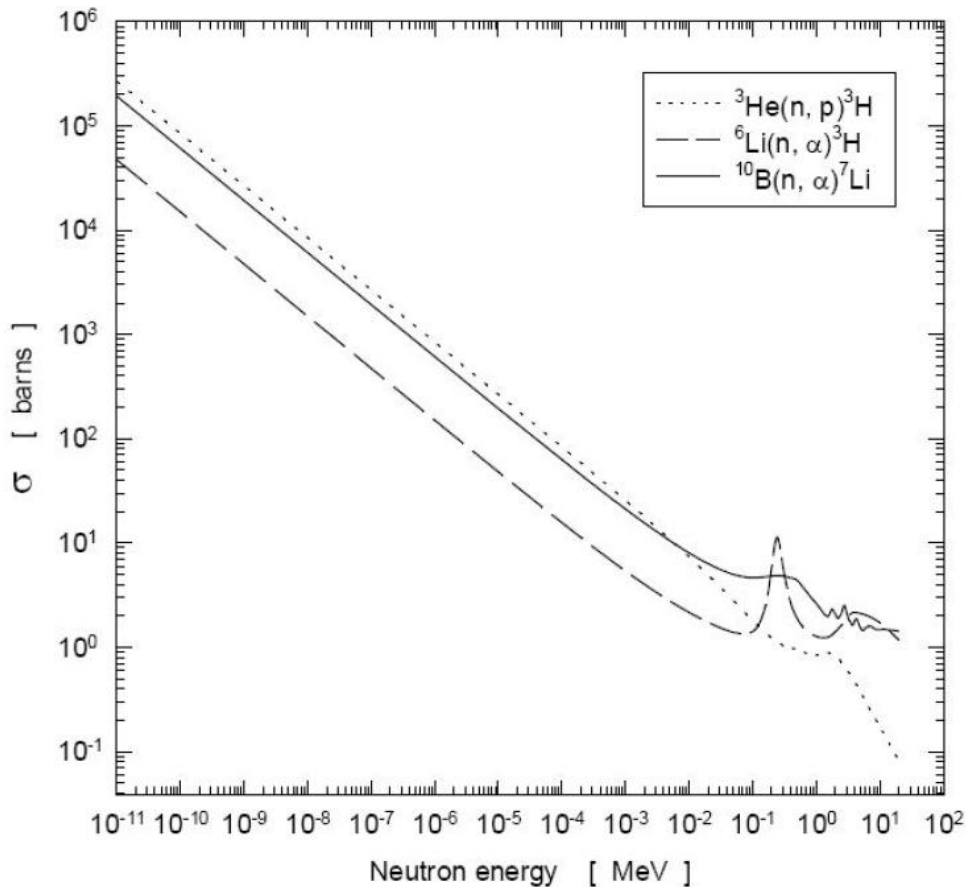


Abb. 1: Wirkungsquerschnitte in Abhängigkeit von der Neutronenenergie (aus [2]).

Energieabhängigkeit der Detektorempfindlichkeit

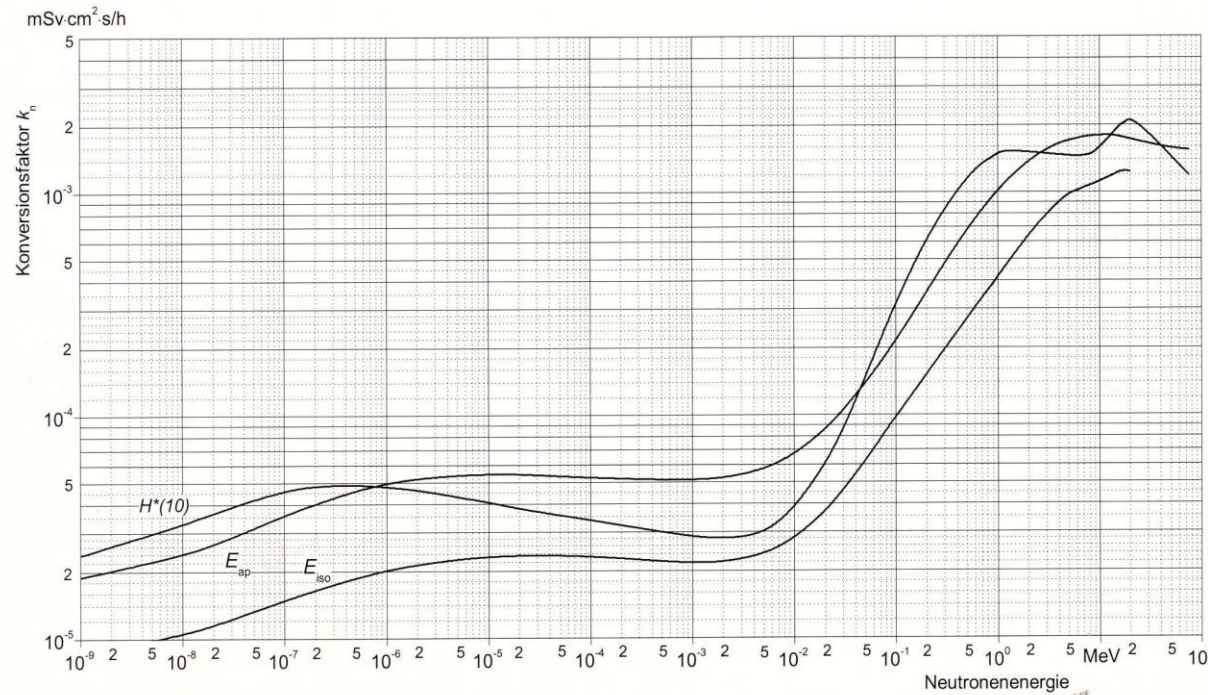


Abb. 2: Strahlenbiologische Gewichtung von Neutronen in Abhängigkeit von der Neutronenenergie.

$H^*(10)$

Umgebungs-Äquivalentdosis

E_{ap}

Effektive Dosis in einem parallelen Strahlungsfeld bei Bestrahlung von vorn

E_{iso}

Effektive Dosis in einem isotropen Strahlungsfeld (aus [7])

${}^3\text{He}$ - Vorteile

- Verfügbarkeit (ursprünglich Abfallprodukt)
- einfacher Aufbau → preiswert
- hohe Zuverlässigkeit und Langzeitstabilität
- recht gute n/γ Unterscheidung
- Peak im Energiespektrum
→ Systemdiagnose
- HV <1kV (2-3 keV für BF_3)
- ungiftig

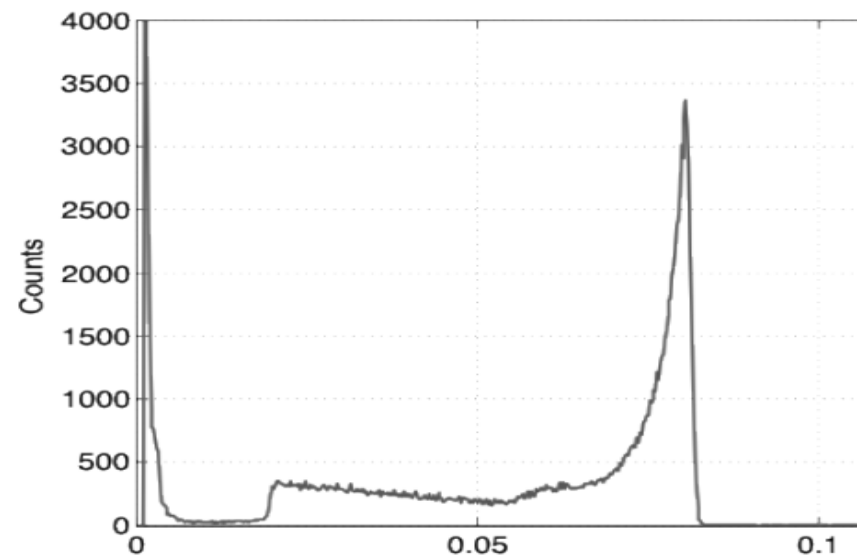


Abb. 3: ${}^3\text{He}$ Impulshöhenverteilung.

³He - Produktion

- natürliches Vorkommen ~ **37000 t** in der Atmosphäre
- Gewinnung aus Tritium
(jährliche Produktion ~ 1/18 Tritiummenge)
- Anwendung: Neutronendetektoren, (Fusion)
- Verbrauch ~ 65 m³/a
Produktion ~ 15 m³/a
- für Portalmonitore ~ 22 m³/a (Σ ca. 70 m³)
- Preissteigerung
2008: 75 \$/l
2011: 6500 \$/l

Tritium

- natürliches Vorkommen ~ **7.3 kg** Atmosphäre
- **1955 bis 1988** in USA ~**225 kg** produziert davon noch ~**50 kg** vorh.
→ ~**175 kg** ^3He produziert (~1350m³)
- <10% für zivile Zwecke (Lichtquellen und Fusionsforschung)
- prod. im Reaktor (Linearbeschleuniger zu teuer)
- bis 1988 in Savannah River (K-Reaktor)
 $^6\text{Li} + n \rightarrow ^3\text{H} + \alpha + 4.8 \text{ MeV}$
- seit 1997 Produktion in Tennessee (Watts Bar-1)
ziviler DWR mit Li statt B in speziellen Steuerstäben
„Tritium Production Burnable Absorber Rods“ (TPBA)
Aufarbeitung in Savannah River
Diffusionsprobleme!



Alternative Detektoren - ^{10}B

- BF_3 gasgefüllte Proportionalzähler
- Bor beschichtete Proportionalzähler

HV: 2-3 keV, schöner Peak, giftig

HV: <1 keV, 1 μm $^{10}\text{B}_4\text{C}$, $^{10}\text{B}(\text{n},\alpha)^7\text{Li}$,
Bündelung vieler dünner Röhren „straw detector“
Absorptionsverluste → Impulsverteilung → breiter Peak
Empfindlichkeit & n/γ -Diskriminierung abhängig vom Schwellwert (bzw. Temperatur)

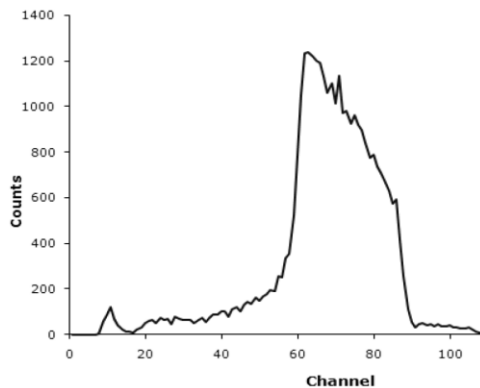


Abb. 4: BF^3

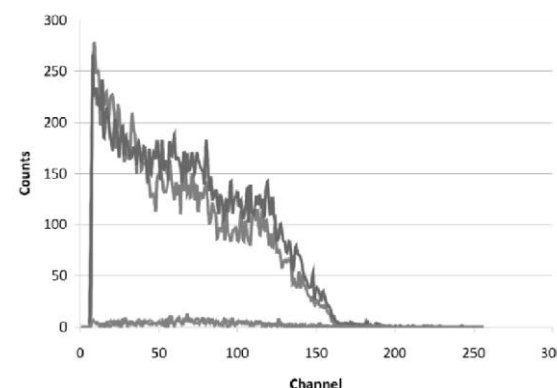


Abb. 5: Bor-beschichtet

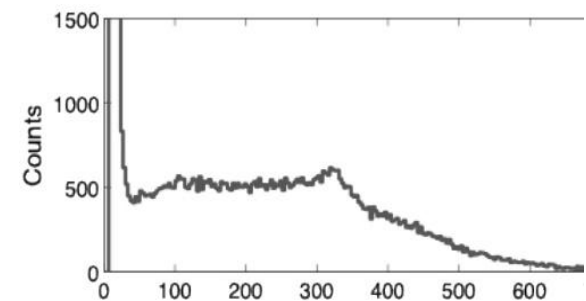


Abb. 6: BSC.

Alternative Detektoren – ${}^6\text{Li}$

- ${}^6\text{Li}$ dotierte Glasfasern

n/ γ -Diskriminierung durch Analyse der Impulsform,
PMT → Langzeit-/Temperaturdrift → Stabilisierung

- ${}^6\text{Li}$ /Scintillator beschichtete Glasfasern

breiter Peak bei relativ hoher Energie,
Potential für höchste Empfindlichkeit,

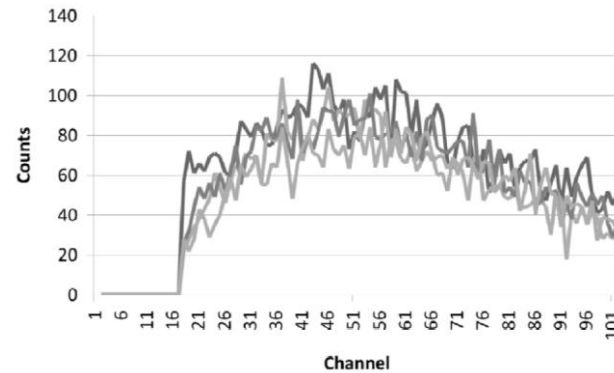


Abb. 7: ${}^6\text{Li}$ beschichtete Glasfasern

Alternativdetektor – SL

- ZnS(Ag) mit ${}^6\text{LiF}$
 - hohe Lichtausbeute
- gute n/ γ -Diskriminierung
- Detektorempfindlichkeit $\sim 4 \text{ cm}^2$
- Problem: Schwellwert beeinflusst n/ γ -Diskriminierung und Empfindlichkeit
- noch zu charakterisierten:
 - Temperaturabhängigkeit
 - Langzeitstabilität/Drift

Alternativdetektor – SL

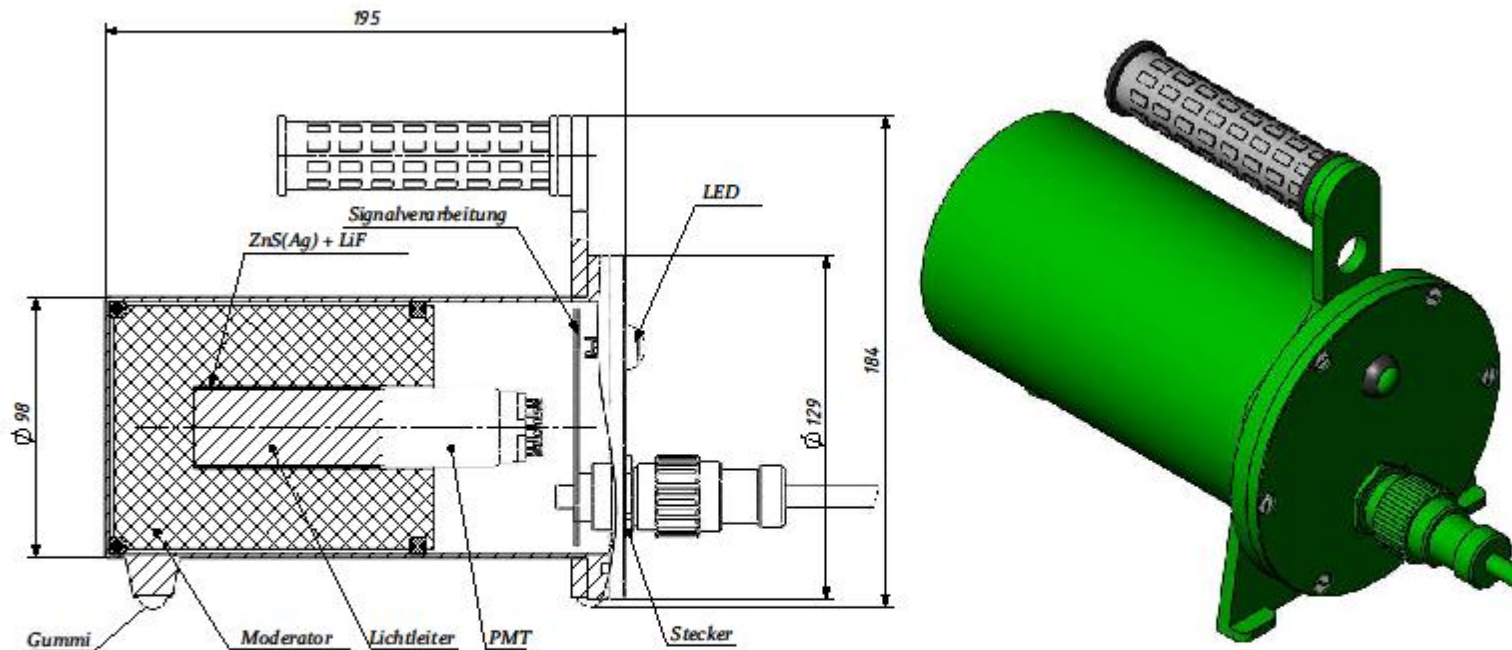


Abb. 8: Testdetektor um alte ${}^3\text{He}$ Sonde zu ersetzen.

Quellenverzeichnis



- [1] Knoll, G. Radiation Detection and Measurement, fourth edn. (New York: John Wiley & Sons) (2010).
 - [2] Vega-Carrillo, H.R., Response matrix of a multisphere neutron spectrometer with an ^3He proportional counter. REVISTA MEXICANA DE FÍSICA 51 (1) 47–52 (2005).
 - [3] Schuhmacher, H. Neutron Calibration Facilities. Radiat. Prot. Dosim. 110(1-4), 33-42 (2004).
 - [4] International Organization for Standardization. Reference neutron radiations -- Part 1: Characteristics and methods of production; 2001-02 ISO 8529-1:2001/Corrigendum 1:2008.
 - [5] International Organization for Standardization. Reference neutron radiations -- Part 2: Calibration fundamentals of radiation protection devices related to the basic quantities characterizing the radiation field; 2000-08.
 - [6] International Organization for Standardization. Reference neutron radiations -- Part 3: Calibration of area and personal dosimeters and determination of response as a function of energy and angle of incidence; 1998-11.
 - [7] Vogt, H.G. Grundzüge des praktischen Strahlenschutzes. Hanser Verlag (2007)
 - [8] Eisenhauer et al. Calibration Techniques for Neutron Personal Dosimetry. Radiat. Prot. Dosim. 10 (1-4), 43-57 (1985).
 - [9] Kluge, H., Alevra, A. V., Jetzke, S., Knauf, K., Matzke, M., Weise, K. and Wittstock, J. Scattered neutron reference fields produced by radionuclide sources. Radiat. Prot. Dosim. 70, 327-330 (1997).
 - [10] Silari M. Workspace characterization in mixed neutron gamma fields. Radiat. Prot. Dosim. Advanced Access. doi:10.1093/rpd/ncm395 (2007).
 - [11] Marsh, J.W. High resolution measurements of neutron energy spectra from Am-Be and Am-B neutron sources. Nuclear Instruments and Methods in Physics Research A. 366, 340-348 (1995)
 - [12] ICRP Publication 74: Conversion Coefficients for use in Radiological Protection against External Radiation. Annals of the ICRP Volume 26/3
- cont...

Quellenverzeichnis



- [13] R.T. Kouzes et al., Neutron detection alternatives to ${}^3\text{He}$ for national security applications, NIM A623 (2010), p. 1035-1045
- [14] J.L. Lacy et al., Boron coated straw detectors as a replacement for ${}^3\text{He}$, IEEE Nuclear Science Symposium Conference Record (2009)
- [15] R.T. Kouzes, The ${}^3\text{He}$ Supply Problem, Technical Report, PNNL-18388 (2009)
- [16] J.L. Lacy et al., Boron-Coated Straw Detectors: a Novel Approach for Helium-3 Neutron Detector Replacement, IEEE Nuclear Science Symposium Conference Record (2010)
- [17] http://www.proportionaltech.com/new_site/
- [18] D.A. Shea, D. Morgan, The Helium-3 Shortage, Congressional Research Service Report R41419 (2010)
- [19] R.T. Kouzes et al., Boron-Lined Neutron Detector Measurements, Technical Report, PNNL-18938 (2009)
- [20] N. Zaitseva et al., Plastic scintillators with efficient neutron/gamma pulse shape discrimination, NIM A668 (2012), p 88-93
- [21] R.T. Kouzes, J.H. Ely, Lithium an Zinc Sulfide Coated Plastic Neutron Detector Test, Technical Report, PNNL-19566 (2010)
- [22] B.J. Conners et al., ZnO Thermal Neutron Scintillators Designed for High Sensitivity and Gamma-Ray Discrimination, IEEE Nuclear Science Symposium Conference Record (2011)
- [23] R.T. Kouzes et al., Boron-Lined Straw-Tube Neutron Detector Test, Technical Report, PNNL-19600 (2010)